

УДК 621.372; 621.371

## СПОСОБ УСТРАНЕНИЯ НЕРАВНОМЕРНОСТИ АЧХ ОДНОРОДНОЙ ЛИНИИ

*Рожновский М.В.*

*Одесская национальная академия связи им. А.С. Попова,  
65029, Украина, г. Одесса, ул. Кузнечная, 1.  
mixail\_exp@list.ru*

## СПОСІБ УСУНЕННЯ НЕРІВНОМІРНОСТІ АЧХ ОДНОРІДНОЇ ЛІНІЇ

*Рожновський М.В.*

*Одеська національна академія зв'язку ім. О.С. Попова,  
65029, Україна, м. Одеса, вул. Ковальська, 1.  
mixail\_exp@list.ru*

## METHOD OF ELIMINATION OF HOMOGENEOUS LINE FREQUENCY RESPONSE IRREGULARITY

*Rozhnovskiy M.V.*

*O.S. Popov Odessa national academy of telecommunications,  
1Kovalska St., Odessa, 65029, Ukraine.  
mixail\_exp@list.ru*

**Аннотация.** Предложен способ устранения неравномерности АЧХ однородной линии, основанный на симметрировании распределенных в линии потерь при гармоническом и экспогармоническом воздействии.

**Ключевые слова:** схема замещения, однородная линия, четырехполюсник, математическая модель, матрица.

**Анотація.** Запропоновано спосіб усунення нерівномірності АЧХ однорідної лінії, заснований на симетруванні розподілених у лінії втрат при гармонічних та експогармонічних діях.

**Ключові слова:** схема заміщення, однорідна лінія, чотириполюсник, математична модель, матриця.

**Abstract.** The method of elimination of homogeneous line frequency response irregularity based on the symmetrization of distributed line losses under harmonic and expoharmonic actions is presented.

**Key words:** equivalent circuit, homogeneous line, four-pole, mathematical model, matrix.

Линии связи имеют широкое применение в различных отраслях телекоммуникаций, электроники и средствах связи. Развитие электротехники и средств связи обуславливает тенденцию повышения требований к характеристикам проводных линий связи, в частности к их амплитудно-частотным характеристикам (АЧХ). Известно [1], что неравномерность АЧХ линии приводит к сужению эффективно используемой полосы частот при передаче сигналов по данной линии. Ограничение полосы частот и неравномерность АЧХ линии приводит к тому, что различные частотные составляющие спектра сигналов данных, передаваемых по каналу связи, приходят на выход линии с изменением своих амплитуд. Таким образом, искажается форма принимаемого сигнала, что затрудняет его правильную регистрацию на приемном конце канала связи.

При исследованиях цепей с распределенными параметрами при экспофункциональных воздействиях, основное внимание уделялось компенсации существующих в линиях потерь [1...4], а вопросы уменьшения неравномерности АЧХ в полосе пропускания линии не рассматривались, так как получаемая в среде Multisim [5] характеристика не отображала полную картину. Однако после проведенного анализа математической модели линии при экспофункциональных воздействиях в работе [6] выявлена неравномерность АЧХ модели линии. Поэтому **цель данной статьи** дать способ устранения неравномерности АЧХ линии.

В работе [2] подробно рассмотрены и проанализированы модели однородной линии без искажений. Анализируя результаты работы [2], видно, что на низких частотах



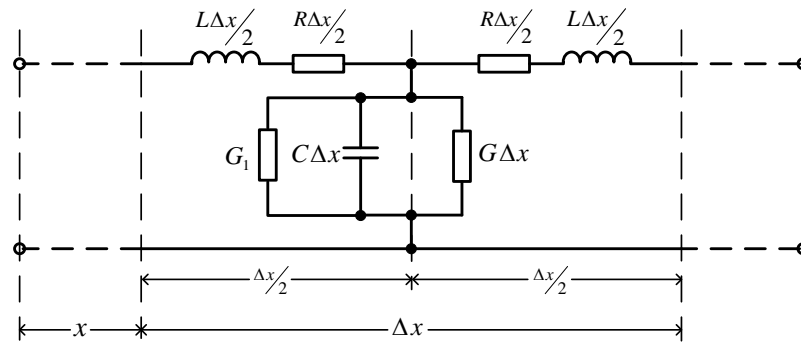


Рисунок 2 – Т-образная схема замещения однородной линии с произвольными потерями с введенной дополнительной проводимостью

Величину дополнительной проводимости изоляции для симметрирования распределенных потерь в линии определяем исходя из следующих рассуждений: определим добротности распределенной емкости и индуктивности в линии, опираясь на известные формулы для цепей с сосредоточенными параметрами [8]

$$Q_{L\Delta x} = \frac{\omega \cdot L\Delta x}{R\Delta x}, \quad (1)$$

где  $\omega = 2\pi f$  – угловая частота,

$$Q_{C\Delta x} = \frac{\omega \cdot C\Delta x}{G\Delta x}. \quad (2)$$

Для симметричности потерь в линии необходимо, чтобы выполнялось следующее условие

$$Q_{C\Delta x} = Q_{L\Delta x}, \quad (3)$$

а это невозможно для линии с произвольными потерями. Выполнение равенства (3) возможно в случае, когда выражение (2) имеет вид

$$Q_{C\Delta x1} = \frac{\omega \cdot C\Delta x}{G_{\Sigma}}, \quad (4)$$

где  $G_{\Sigma}$  – суммарная величина проводимости изоляции, необходимая для выполнения равенства (3), которая определяется по формуле:

$$G_{\Sigma} = G\Delta x + G_1. \quad (5)$$

Подставив выражения (1) и (4) ( $Q_{C\Delta x1}$  вместо  $Q_{C\Delta x}$ ) в выражение (3), получим равенство

$$\frac{\omega \cdot C\Delta x}{G\Delta x + G_1} = \frac{\omega \cdot L\Delta x}{R\Delta x}. \quad (6)$$

Преобразовав выражения (6), можно получить дополнительную сосредоточенную проводимость изоляции  $G_1$ , необходимую для того, чтобы распределенные потери в линии были симметричны

$$G_1 = \frac{C\Delta x \cdot R\Delta x}{L\Delta x} - G\Delta x. \quad (7)$$

Далее, зная величину дополнительной сосредоточенной проводимости изоляции линии  $G_1$ , определим величину значения сопротивления необходимого для реализации данной проводимости по известной формуле

$$R_1 = \frac{1}{G_1}. \quad (8)$$

На следующем этапе для подтверждения вышесказанных доводов необходимо создать математическую модель линии с учетом дополнительной симметрирующей проводимости  $G_1$ .

Рассмотрим элементарный участок линии длиной  $\Delta x$  с учетом симметрирующей проводимости  $G_1$  как каскадное соединение симметричных четырехполюсников [8, 9] (рис. 3): четырехполюсник  $A_1$  – отрезок линии длиной  $\frac{\Delta x}{2}$ ; четырехполюсник  $A_2$  – простейший одноэлементный четырехполюсник.

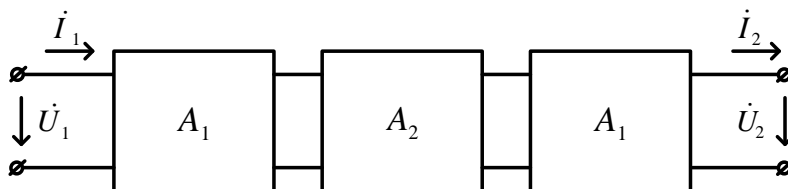


Рисунок 3 – Каскадное соединение четырехполюсников

Запишем отдельно математические модели для каждого четырехполюсника рис. 3.

Математическая модель симметричного четырехполюсника  $A_1$  – это матрица  $[A_1]$ , которая для отрезка однородной линии длиной  $\Delta x/2$  выглядит следующим образом [8, 9]

$$[A_1] = \begin{bmatrix} ch\left(\gamma \frac{\Delta x}{2}\right) & Z_B sh\left(\gamma \frac{\Delta x}{2}\right) \\ \frac{1}{Z_B} sh\left(\gamma \frac{\Delta x}{2}\right) & ch\left(\gamma \frac{\Delta x}{2}\right) \end{bmatrix}. \quad (9)$$

В данной матрице  $\gamma$  – это коэффициент распространения линии, который рассчитывается по формуле [8]

$$\gamma = \sqrt{(R + j\omega L)(G + j\omega C)}, \quad (10)$$

$Z_B$  – это волновое сопротивление линии, которое рассчитывается по формуле [8]

$$Z_B = \sqrt{\frac{R + j\omega L}{G + j\omega C}}. \quad (11)$$

В свою очередь, значение  $\Delta x$  определяется по формуле:

$$\Delta x = \frac{l}{n}, \quad (12)$$

где  $l$  – длина отрезка линии;  $n$  – количество элементарных участков, на которое разбита длина отрезка линии  $l$ .

На следующем шаге рассмотрим четырехполюсник  $A_2$ . Этот четырехполюсник представляет собой простейший одноэлементный четырехполюсник, состоящий из параллельного двухполюсника [9] (рис. 4).

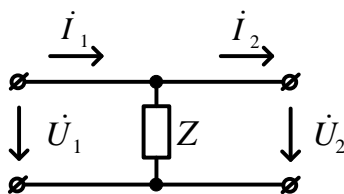


Рисунок 4 – Одноэлементный четырехполюсник

Запишем матрицу  $[A_2]$  для четырехполюсника, показанного на рис. 3 [8, 9]

$$[A_2] = \begin{bmatrix} 1 & 0 \\ \frac{1}{Z} & 1 \end{bmatrix} = \begin{bmatrix} 1 & 0 \\ G_1 & 1 \end{bmatrix}. \quad (13)$$

Согласно рис. 3 эквивалентная матрица  $[A_{\text{эКВ}}]$  одного элементарного участка линии записывается в следующем виде

$$[A_{\text{эКВ}}] = [A_1] \cdot [A_2] \cdot [A_1]. \quad (14)$$

После несложных математических преобразований эквивалентную матрицу  $[A_{\text{эКВ}}]$  можно записать в следующем виде

$$[A_{\text{эКВ}}] = \begin{bmatrix} ch(\gamma \cdot \Delta x) + \frac{G_1 \cdot Z_B \cdot sh(\gamma \cdot \Delta x)}{2} & G_1 \cdot Z_B^2 \cdot sh\left(\frac{\gamma \cdot \Delta x}{2}\right)^2 + sh(\gamma \cdot \Delta x) \cdot Z_B \\ \frac{G_1}{2} + \frac{sh(\gamma \cdot \Delta x)}{Z_B} + \frac{G_1 \cdot ch(\gamma \cdot \Delta x)}{2} & ch(\gamma \cdot \Delta x) + \frac{G_1 \cdot Z_B \cdot sh(\gamma \cdot \Delta x)}{2} \end{bmatrix}, \quad (15)$$

где  $G_1$  – это значение дополнительно вносимой величины проводимости изоляции, которое рассчитывается по формуле (7).

Так как отрезок линии длиной  $l$  состоит из  $n$  элементарных участков, то его модель соответствует следующему виду, показанному на рис. 5.

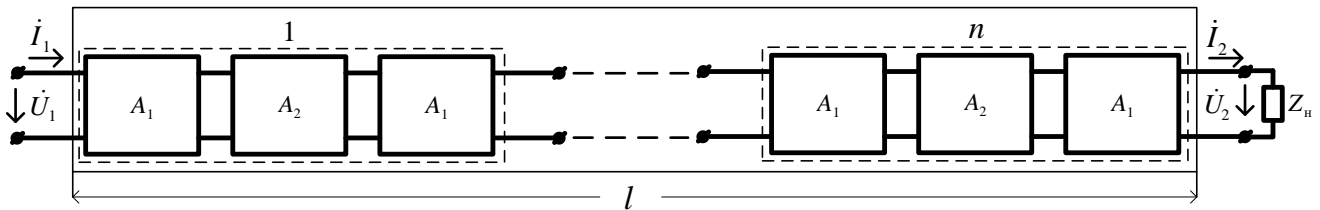


Рисунок 5 – Модель отрезка линии длиной  $l$  на примере каскадного соединения  $n$  четырехполюсников

Согласно рис. 5 эквивалентную матрицу  $[A_{\text{эКВ}}]$  (15) для всего отрезка линии необходимо записать в следующем виде

$$[A_{\text{эКВ}}]^n = \begin{bmatrix} ch(\gamma \cdot \Delta x) + \frac{G_1 \cdot Z_B \cdot sh(\gamma \cdot \Delta x)}{2} & G_1 \cdot Z_B^2 \cdot sh\left(\frac{\gamma \cdot \Delta x}{2}\right)^2 + sh(\gamma \cdot \Delta x) \cdot Z_B \\ \frac{G_1}{2} + \frac{sh(\gamma \cdot \Delta x)}{Z_B} + \frac{G_1 \cdot ch(\gamma \cdot \Delta x)}{2} & ch(\gamma \cdot \Delta x) + \frac{G_1 \cdot Z_B \cdot sh(\gamma \cdot \Delta x)}{2} \end{bmatrix}^n, \quad (16)$$

где значение степени  $n$  равно количеству элементарных участков, на которое разбита длина отрезка линии  $l$ .

Оперируя матрицей (16) в программном математическом пакете MathCad, с учетом того, что эквивалентный четырехполюсник, изображенный на рис. 5, нагружен на  $Z_H$ , можно построить передаточную функцию по напряжению в следующем виде [8, 9]

$$\dot{K}_U(\omega) = \frac{\dot{U}_2}{\dot{U}_1} = K(\omega) \cdot e^{-j\varphi(\omega)} = \frac{Z_H}{A_{11}Z_H + A_{12}}, \quad (17)$$

где  $K(\omega)$  – амплитудно-частотная характеристика (АЧХ);  $\varphi(\omega)$  – фазочастотная характеристика (ФЧХ);  $A_{11}$ ,  $A_{12}$  – элементы матрицы  $[A_{\text{эКВ}}]^n$ ;  $Z_H$  – сопротивление нагрузки.

Для подтверждения полученных результатов проведем эксперимент в программном математическом пакете MathCad, в ходе которого отсимметрируем потери в однородной линии с произвольными потерями.

Рассмотрим модель линии со следующими параметрами: длина линии  $l = 40$  км, количество элементарных участков  $n = 40$  (следовательно,  $\Delta x = 1$  км), первичные параметры соответствуют следующим значениям:  $R = 42,9$  Ом/км,  $G = 0,14 \times 10^{-6}$  См/км,  $L = 7,77 \times 10^{-3}$  Гн/км,  $C = 6 \times 10^{-9}$  Ф/км, сопротивление нагрузки  $R_n = 1137,98$  Ом, значение дополнительно вносимой величины проводимости изоляции  $G_1 = 0$  См. Параметр  $\lambda$ , который характеризует экспофункциональное воздействие для полной компенсации потерь в линии, рассчитан по формуле [4]

$$\lambda = \frac{RC + GL}{2LC} \quad (18)$$

и равен (для данной линии)  $\lambda = 2772$  с<sup>-1</sup>.

АЧХ данной модели линии с несимметричными потерями представлено на рис. 6

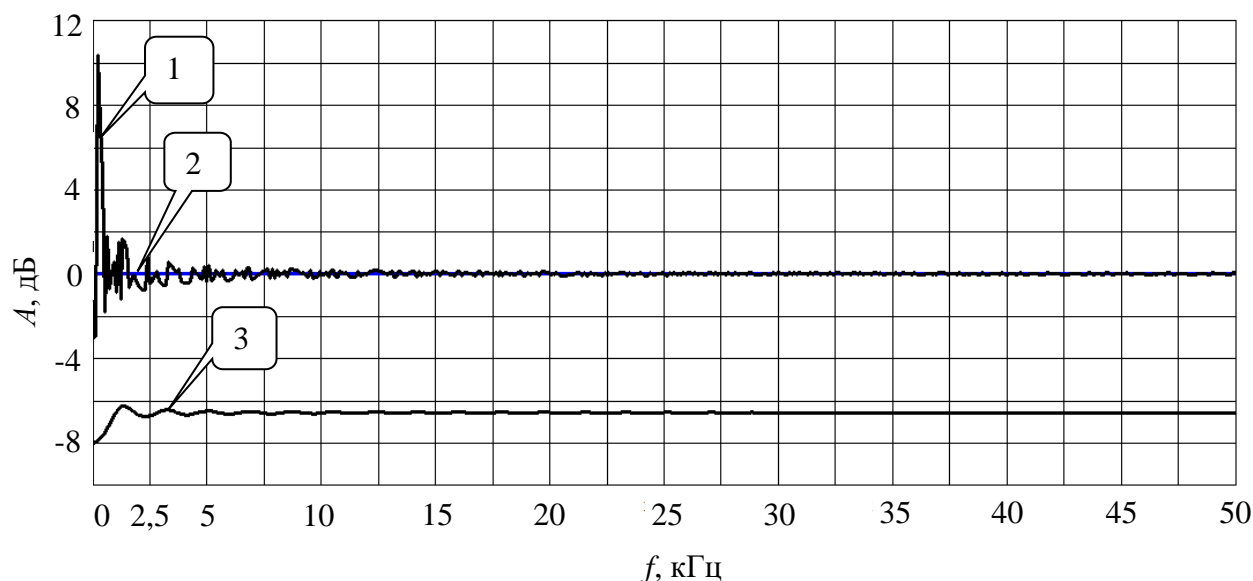


Рисунок 6 – АЧХ моделей однородной линии с несимметричными потерями в пакете MathCad

На рис. 6 показаны характеристики, полученные в MathCad, для модели однородной линии с произвольными потерями: кривая под номером 1 – это АЧХ модели линии при экспофункциональном воздействии; кривая под номером 2 – это АЧХ модели линии без потерь ( $R = 0$ ,  $G = 0$ ); кривая под номером 3 – это АЧХ модели линии с потерями.

На следующем шаге эксперимента проведем симметрирование потерь в данной линии. Для этого определим необходимую дополнительную проводимость изоляции линии по формуле (7)  $G_1 = 3,299 \times 10^{-5}$  См. Подставим полученное значение  $G_1$  в математическую модель однородной линии с произвольными потерями и построим кривые АЧХ в MathCad рис. 7.

На рис. 7 показаны характеристики, полученные в MathCad, для модели однородной линии с симметричными потерями: кривая под номером 1 – это АЧХ модели линии при экспофункциональном воздействии; кривая под номером 2 – это АЧХ модели линии без потерь ( $R = 0$ ,  $G = 0$ ); кривая под номером 3 – это АЧХ модели линии с потерями.

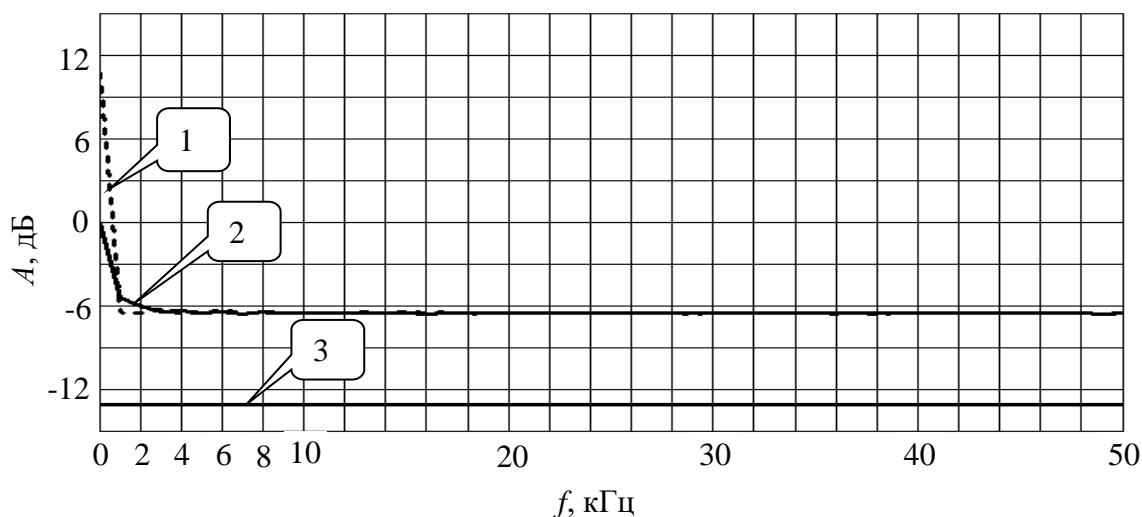


Рисунок 7 – АЧХ моделей однородной линии с симметричными потерями в пакете MathCad

Сравнивая и анализируя кривые на рис. 6 и 7, можно увидеть, что:

1. Неравномерность АЧХ под номером 1 (АЧХ при экспофункциональном воздействии) на рис. 7 значительно уменьшилась по отношению к неравномерности той же кривой на рис. 6. Из рис. 7 и рис. 6 видно, что неравномерность в диапазоне частот  $0 \dots 1$  кГц практически не изменилась, однако в диапазоне частот  $1 \dots 2,5$  кГц неравномерность после симметрирования потерь в линии уменьшилась на 3 дБ. В результате, после симметрирования потерь в линии, кривая АЧХ (рис. 7) не содержит неравномерностей в диапазоне частот от 1 кГц и выше по всему диапазону.

2. Кривая АЧХ под номером 3 на рис. 7 приобрела вид прямой линии, а на рис. 6 та же кривая содержит значительную неравномерность на низких частотах (до 5 кГц).

3. АЧХ под номером 2 на рис. 7 приобрела неравномерность (величиной в 6 дБ) на частотах до 2 кГц по отношению к той же кривой на рис. 6.

Необходимо отметить, что в результате симметрирования потерь в цепи с распределенными параметрами за счет введения дополнительной проводимости изоляции линии была исключена неравномерность АЧХ линии на всем диапазоне частот, начиная с 1 кГц. В то же время, все характеристики, показанные на рис. 7, получили дополнительное затухание, равное 6,5 дБ по отношению к тем же характеристикам на рис. 6. Данное затухание можно компенсировать, если включить на выходе линии усилитель с коэффициентом усиления, который равен 2,1.

Таким образом, в данной статье предложен способ устранения неравномерности АЧХ однородной линии при условии возбуждения данной линии гармоническим и экспогармоническим воздействием. Предложенный способ основан на методе симметрирования потерь в однородной линии. Полученные результаты позволят расширить полосу частот сигналов, в том числе и экспофункциональных, передаваемых по однородным линиям. Недостатком предложенного способа является внесение дополнительного затухания сигнала в линии.

К направлениям дальнейших исследований в данной области следует отнести анализ возможности компенсации внесенного дополнительного затухания сигнала в линии с помощью экспофункционального воздействия.

#### ЛИТЕРАТУРА:

1. Иваницкий А.М. Исследование прохождения экспофункциональных сигналов через линейные электрические цепи с распределенными параметрами / А.М. Иваницкий, Д.Г. Паску // Наукові праці ОНАЗ ім. О.С. Попова. – Одесса. – 2008. – № 2. – С. 5 – 9.

2. Иваницкий А.М. Телеграфные уравнения однородных линий при экспофункциональных сигналах / А.М. Иваницкий, М.В. Рожновский // Наукові праці ОНАЗ ім. О.С. Попова. – Одесса. – 2009. – № 1. – С. 56 – 63.
3. Иваницкий А. М. Прохождение экспо-П-образных сигналов через длинную однородную линию без искажений / А.М. Иваницкий, М.В. Рожновский // Цифровые технологии. – 2008. - № 4. – С. 93 – 102.
4. Ivanitckiy, A. M., and M. V. Rozhnovskiy. "The General Form of Secondary Parameters of Uniform Line under Expofunctional Actions." *Radioelectronics and Communications Systems* 54.6 (2011): 37-42.
5. Карлащук В.И. Электронная лаборатория на IBM PC. Лабораторный практикум на базе Electronics Workbench и Matlab. – [5-е изд., перераб. и доп.] / Карлащук В.И. – М.: СОЛОН-Пресс, 2004. – 799 с.
6. Иваницкий А.М. Компенсация потерь в линиях с частотнозависимыми первичными параметрами  $R$  и  $G$  с помощью экспофункциональных сигналов / А.М. Иваницкий, М.В. Рожновский // Наукові праці ОНАЗ ім. О.С. Попова. – 2010. – № 1. — С. 93 – 101.
7. Иваницкий А. М. Метод исследования  $LC$ -фильтров с различными величинами добротностей катушек индуктивности и конденсаторов при экспофункциональных сигналах / А.М. Иваницкий, Д.Г. Паску, М.В. Рожновский // Радиотехника. – Всеукр. межвед. науч.-техн. сб. – 2008. – Вып. 154. – С. 74 – 80.
8. Атабеков Г.И. Основы теории цепей: учебник для вузов / Атабеков Г.И.– М.: Энергия, 1969. – 424 с.
9. Зелях Э.В. Основы общей теории линейных электрических схем / Зелях Э.В. – М.: АН СССР, 1951. – 236 с.

REFERENCES:

1. Ivanitckiy, A. M., and D. G. Pascu. "Investigation of Expofunctional Signals Passage through Linear Electric Circuits with Distributed Parameters." *Proc. of the O.S. Popov ONAT 2* (2008): 5-9.
2. Ivanitckiy, A. M., and M. V. Rozhnovskiy. "The Telegraph Equations of Homogeneous Lines under Expofunctional Signals." *Proc. of the O.S. Popov ONAT 1* (2009): 56-63.
3. Ivanitckiy, A. M., and M. V. Rozhnovskiy. "Passage of the Expo-П-Type Signals through the Long Homogeneous Line without Distortions." *Digital Technologies* 4 (2008): 93-102.
4. Ivanitckiy, A. M., and M. V. Rozhnovskiy. "The General Form of Secondary Parameters of Uniform Line under Expofunctional Actions." *Radioelectronics and Communications Systems* 54.6 (2011): 37-42.
5. Karlaschuk, V. I. *Electronic Laboratory on IBM PC. Laboratory Practicum on the Base of Workbench and Matlab*. 5th ed. Moscow: Solon-Press, 2004.
6. Ivanitckiy, A. M., and M. V. Rozhnovskiy. "Losses Compensation in Lines with Frequency-Dependent Primary Parameters  $R$  and  $G$  by Means of the Expofunctional Signals." *Proc. of the O.S. Popov ONAT 1* (2010): 93-101.
7. Ivanitckiy, A. M., D. G. Pascu, and M. V. Rozhnovskiy. "Research Method of LC-filter with Different Values of the Quality Factor of Inductances and Capacitors under Expofunctional Signals." *Radiotechnics*. 154 (2008): 74-80.
8. Atabecov, G. I. *Basics of Circuit Theory*. Moscow: Energy, 1969.
9. Zelyah, E.V. *Basics of the general theory of linear electric circuits*. Moscow: USSR SA, 1951.